

РОЛЬ ОРБИТАЛЬНОГО УПОРЯДОЧЕНИЯ В ФОРМИРОВАНИИ ЭЛЕКТРОННОЙ СТРУКТУРЫ НЕДОПИРОВАННЫХ МАНГАНИТОВ LaMnO_3 В РЕЖИМЕ СИЛЬНЫХ ЭЛЕКТРОННЫХ КОРРЕЛЯЦИЙ

В. А. Гавричков, С. Г. Овчинников*

*Институт физики им. Л. В. Киренского Сибирского отделения Российской академии наук
660036, Красноярск, Россия*

Л. Е. Якимов

*Сибирский государственный аэрокосмический университет им. М. Ф. Решетнега
660014, Красноярск, Россия*

Поступила в редакцию 30 сентября 2005 г.

Электронная структура недопированных и слабодопированных мanganитов $\text{La}_{1-x}\text{Sr}_x\text{MnO}_3$ рассчитана в рамках обобщенного метода сильной связи с явным учетом сильных внутриатомных корреляций. Как следует из расчета, в орбитально-разупорядоченном недопированном антиферромагнетике LaMnO_3 основное состояние было бы металлическим, несмотря на мотт-хаббардовскую корреляционную щель в спектре квазичастиц. Благодаря орбитальному упорядочению стабилизируется диэлектрическое состояние, как в антиферромагнитной, так и в парамагнитной фазах. Вблизи потолка валентной зоны обнаружены внутрищелевые состояния поляронной природы со спектральным весом, пропорциональным концентрации допирования в $\text{La}_{1-x}\text{Sr}_x\text{MnO}_3$. С ростом допирования в ферромагнитной фазе появляется состояние металла с металлическими характеристиками для одной спиновой подзоны и диэлектрического типа для другой спиновой подзоны, так называемое полуметаллическое состояние.

PACS: 71.10.-w

1. ВВЕДЕНИЕ

Стартовой точкой большинства дискуссий о механизме магнитосопротивления, переходах металл–диэлектрик и ферромагнетик (FM)–парамагнетик (PM) в мanganитах является модель двойного обмена [1]. Как было показано Андерсоном и Хасегавой, де Женом [2, 3] физика двойного обмена состоит в том, что амплитуда перескока t зависит от спиновой конфигурации на двух ближайших узлах. Модель двойного обмена дает интуитивно понятное объяснение как для взаимосвязи спиновых и зарядовых степеней свободы, так и для подвижности носителей. Проблема состоит в том, что количественно величина эффекта изменения проводимости при переходе металл–диэлектрик не воспроизводится в модели

двойного обмена [4]. Действительно, в парамагнитном случае ($T > T_C$) можно считать, что угол между двумя ближайшими спинами равен 90° , и, таким образом, амплитуда интеграла перескока t_{eff} сокращается в $\cos(90^\circ/2) = 0.7$ раз от своей величины в ферромагнетике. Это подразумевает уменьшение проводимости во столько же раз. Хорошо известно, что в эксперименте проводимость уменьшается на 2–3 порядка при переходе $\text{FM} \leftrightarrow \text{PM}$. Несоответствие в порядках величины эффекта указывает на иные причины, необходимые для объяснения изменений в проводимости при переходе $\text{FM} \leftrightarrow \text{PM}$. Другой вывод состоит в том, что ширина квазичастичной зоны также сокращается в 0.7 раз от своей величины в ферромагнетике. Это подразумевает небольшое увеличение плотности состояний на E_F в PM-фазе. Последнее противоречит экспериментальным фактам, свидетельствующим

*E-mail: gav@iph.krasn.ru

об образовании псевдоцентра на E_F при повышении температуры выше T_C . Действительно, проводимость определяется концентрацией носителей n и их подвижностью μ : $\sigma = ne\mu$. В модели двойного обмена изменение подвижности носителей является доминирующим эффектом из-за соответствующих изменений амплитуды интеграла пересека. К сокращению подвижности также приводят эффекты андерсоновской локализации благодаря, например, беспорядку в расположении спинов t_{2g} -электронов. Однако ни один из этих эффектов не влияет существенно на плотность состояний на E_F . В работах по эффекту Холла [5] и в работах по фотоэмиссионной спектроскопии с угловым разрешением [6] ясно наблюдается, что переход металл–диэлектрик происходит благодаря изменению числа носителей (т. е. в плотности состояний на E_F), а не подвижности. Такое расхождение в выводах экспериментальных работ и модели двойного обмена уже невозможно охарактеризовать исключительно как количественное.

Другой фронт исследования представлен работами из первых принципов, где исследуется электронный спектр мanganитов в зависимости от типа магнитного и орбитального упорядочения, величины дипиорования и вида дисторсий кристаллической структуры. Их отличительной чертой является реалистичный подход к зонной структуре мanganитов. Однако применимость самого такого одноэлектронного подхода к расчету зонной структуры LaMnO_3 вызывает вопросы. Действительно, в согласии с оценками [7] величина одноузельного кулоновского взаимодействия U приблизительно 8 эВ в LaMnO_3 и SrMnO_3 , а величина Δ — энергия зарядовых pd -флуктуаций 4.5 эВ для LaMnO_3 и 2 эВ для SrMnO_3 . Поэтому в соответствии с классификационной схемой Заанена–Завадского–Аллена [8] эти соединения должны быть отнесены к диэлектрикам «с переносом заряда», где электронные корреляции формируют основное диэлектрическое состояние. Действительно, одноэлектронные расчеты в рамках теории функционала плотности (LSDA DFT) [9] дают металлическое состояние для кубической структуры в соответствии с частично заполненной d -зоной. Аналогичный результат имеет место и для недопированных купратов типа La_2CuO_4 [10].

Перманентный недостаток одноэлектронных расчетов LSDA и LDA+U также связан с тем, что для образования большого магнитного момента в FM- и AFM-фазах в расчет вводится гигантское обменное расщепление квазичастичных состояний по спину (~ 3 эВ для t_{2g} -состояний марганца). Это приводит

к некорректным результатам для AFM- и PM-фаз. Например, в работе [9] утверждается, что спектры квазичастич с различной проекцией спина в AFM отличны друг от друга. Это странный результат, так как для носителей с различной проекцией спина AFM-фон выглядит совершенно идентичным. Для PM-фазы щель обменной природы отсутствует и спин-поляризованные расчеты, как и LDA, приводят к металлическому состоянию.

Для разрешения упомянутых несоответствий мы исследуем зонную структуру мanganитов, используя значительно переработанный обобщенный метод сильной связи, ранее предложенный нами для слоистых купратов [11]. Очевидно, что различия в физике этих двух групп соединений настолько велики, что простые изменения в параметрах этого метода их совершенно не воспроизводят. Помимо двух различных технического характера в расчетах мanganитов и купратов, обусловленных трехмерностью кубического кристалла LaMnO_3 и высокоспиновыми многоэлектронными термами d^5 -, d^4 - и d^3 -конфигурации марганца, имеется также отличие, связанное с орбитальным упорядочением в мanganитах. В результате наблюдается сосуществование различных магнитных и орбитальных упорядочений [12], аналога которому в купратах нет.

Для того чтобы развить обобщенный метод сильной связи для расчета квазичастичного спектра в орбитально-упорядоченном LaMnO_3 , мы построили двухподрешеточное конфигурационное пространство на высокоспиновых состояниях, соответствующих основным состояниям ячейки с различным количеством электронов. Затем, используя технику операторов Хаббарда, действующих в пространстве высокоспиновых состояний, вычислили дисперсию как для AFM-, так и для FM- и PM-фаз.

Результаты наших расчетов свидетельствуют о том, что, несмотря на щель Мотта–Хаббарда, основное состояние неискаженного кубического LaMnO_3 , обладающего AFM-упорядочением, было бы металлическим по простой причине вырождения e_g -орбиталей (модель Хаббарда при $U \rightarrow \infty$ с заполнением $1/4$ дает металлическое состояние). Существование ян-теллеровских дисторсий, расщепляющих e_g -уровень на величину $\Delta\epsilon$, приводит к основному диэлектрическому состоянию. Следствием орбитального упорядочения в AFM- и PM-фазах является наличие на потолке валентной зоны двух различных типов зон, разделенных энергетическим интервалом порядка $\Delta\epsilon$. В FM-фазе имеет место различие в спектрах квазичастич с различной проекцией спина. Однако это не простая раздвижка

спиновых подзон, как в LSDA-расчетах. Различия в спектрах в FM-фазе образуются благодаря перераспределению спектральной интенсивности между состояниями носителей с различной проекцией спина. В то же время в AFM- и РМ-фазах квазичастичный спектр остается вырожденным двукратно по спину носителя.

План статьи следующий:

формулировка многоэлектронной модели и построение гамильтонiana в двухподрешеточном состоянии орбитального антиферромагнетизма приводится в разд. 2;

раздел 3 посвящен точной диагонализации многоэлектронного гамильтониана на базисе высокоспиновых конфигураций: d^5p^6 ($S = 5/2$), $d^4p^6 + d^5p^5$ ($S = 2$), $d^3p^6 + d^4p^5 + d^5p^4$ ($S = 3/2$);

построение операторов Хаббарда на этом базисе и вывод дисперсионного уравнения обобщенного метода сильной связи для зонной структуры квазичастиц содержится в разд. 4;

наконец, в разд. 5, анализируется полученная зонная структура в AFM- и РМ-фазах недопированного, а также в FM- и РМ-фазах допированных $\text{La}_{1-x}\text{Sr}_x\text{Mn}_x\text{O}_3$ с концентрацией дырок $x \approx 0.2-0.3$. Последний — шестой — раздел содержит выводы.

2. ПОСТАНОВКА ЗАДАЧИ И ГАМИЛЬТОНИАН

Начнем вычисления с утверждений, которые представляются нам обязательными при постановке задачи в свете последних исследований мanganитых материалов и без которых, вероятно, любое теоретическое исследование будет неполноценным. Для построения вычислительной схемы для оксидов марганца LaMnO_3 необходимы

учет эффектов орбитального упорядочения (кооперативного эффекта Яна–Теллера) [12];

построение конфигурационного пространства электронной системы на базе высокоспиновых состояний;

учет $\text{Mn}3d$ – $\text{O}2p$ -гибридизации для корректного описания расщепления $\text{Mn}3d$ -состояний в поле лигандов [13];

выбор корректной схемы расчета эффектов сильных электронных корреляций в спектре квазичастиц [14–16].

В подавляющем большинстве работ, посвященных исследованию корреляционных эффектов в электронной структуре мanganитов [17–21], роль кислородных $2p$ -орбиталей заключается в обосновании

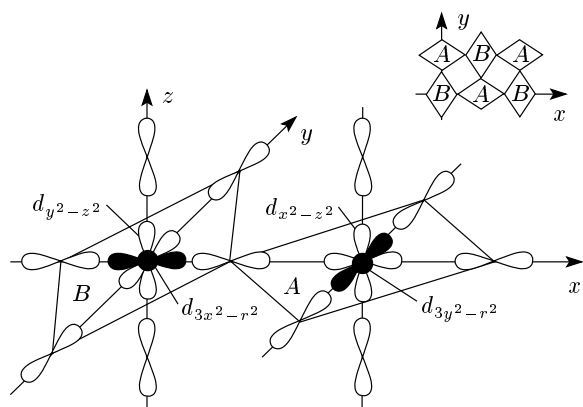


Рис. 1. Разбиение пространственной структуры LaMnO_3 на A- и B-подрешетки проведено в согласии с [12]. Показаны e_g -состояния марганца $|\theta\rangle$ в этих подрешетках, а также p -состояния кислорода, составляющие $d\sigma$ -связи с ними. На вставке показан структурный мотив кооперативного эффекта, соответствующего антиферроорбитальному упорядочению. Вдоль оси z структура повторяется

эффективного матричного элемента перескока t_{eff} между состояниями марганца. Оценки расщепления e_g - и t_{2g} -уровней, вызванного лишь кристаллическим полем в LaMnO_3 , показывают, что его величина не превышает 0.1 эВ [13]. Поэтому необходимая для нас информация о роли эффектов гибридизации $\text{Mn}3d$ – $\text{O}2p$ в ян-теллеровском расщеплении e_g -уровней может быть получена при непосредственном включении $\text{O}2p$ -орбиталей в расчет. Рисунок 1 помогает выбрать минимальный базис из $\text{Mn}3d$ и $\text{O}2p$ -орбиталей, необходимый для расчета спектра низколежащих возбуждений. В мanganитах эффект Яна–Теллера приводит к появлению локальных дисторсий октаэдра MnO_6 , которые вытягивают кристаллическую структуру в плоскости xy и сжимают ее в направлении z . Симметрия ян-теллеровских дисторсий такова, что они снимают вырождение e_g -орбиталей и способствуют заполнению одной из них ($d_{z^2-r^2}$ либо $d_{x^2-y^2}$). В LaMnO_3 кооперативный эффект Яна–Теллера приводит к заполнению линейных комбинаций этих локальных орбиталей и стабилизации чередующихся $d_{3x^2-r^2}$ - и $d_{3y^2-r^2}$ -орбиталей в качестве основных. Как следствие, имеет место образование сверхрешетки $\sqrt{2} \times \sqrt{2}$ в плоскости xy (см. рис. 1). Это явление известно как антиферроорбитальное упорядочение [12]. Таким образом, имея далее в виду возможность расчета спектра квазичастичных возбуждений, мы выбираем набор e_g -состояний в LaMnO_3

в виде

$$|\theta\rangle = \cos\left(\frac{\theta}{2}\right) |d_{3z^2-r^2}\rangle + \sin\left(\frac{\theta}{2}\right) |d_{x^2-y^2}\rangle,$$

где

- 1) $\left|\theta = \frac{\pi}{3}\right\rangle = \sqrt{3}(y^2 - z^2) \equiv |d_y\rangle,$
- 2) $\left|\theta = \frac{2\pi}{3}\right\rangle = (3y^2 - r^2) \equiv |d_{3y}\rangle,$
- 3) $\left|\theta = \frac{4\pi}{3}\right\rangle = (3x^2 - r^2) \equiv |d_{3x}\rangle,$
- 4) $\left|\theta = \frac{5\pi}{3}\right\rangle = \sqrt{3}(x^2 - z^2) \equiv |d_x\rangle.$

Поскольку состояния $|d_{3y}\rangle$ и $|d_{3x}\rangle$ на соседних узлах различаются на угол $\Delta\theta = 2\pi/3$, это на самом деле так называемое скошенное антиферроорбитальное состояние. Состояния $|d_x\rangle$ и $|d_y\rangle$ добавлены в базисами в качестве первых возбужденных состояний соответственно в A - и B -подрешетках. Для отражения наличия сверхструктуры $\sqrt{2} \times \sqrt{2}$ в плоскости xy проведем разбиение $O2p$ -орбиталей, образующих σ -связи, на подрешетки: две p_x -орбитали, p_{1x}, p_{2x} , и одна p_z в A -подрешетке, две p_y -орбитали, p_{1y}, p_{2y} , и одна p_z в B -подрешетке. Конечно, ян-теллеровские деформации расщепляют не только e_g -, но и t_{2g} -состояния. В отличие от e_g -орбиталей, t_{2g} -состояния значительно слабее гибридизуются с кислородными $2p$ -состояниями. Действительно, отношение интегралов перескока по $d\sigma$ - и $d\pi$ -связям $t_\sigma/t_\pi \sim 2$. Как следствие такого расщепления в низкоэнергетическую физику манганитов вовлекаются в основном e_g -состояния. Поэтому мы учтем t_{2g} -состояния неявным образом при построении многоэлектронных термов (см. далее формулы (8), (9) и (11)). Эффекты расщепления t_{2g} -состояний, возможно, важны при расчете непосредственно их спектральной интенсивности. Однако с точки зрения квазичастичного спектра LaMnO_3 , это изменяет энергию, как минимум, на 1–2 эВ вглубь валентной зоны из-за различия в величинах $pd(e_g)\sigma$ - и $pd(t_{2g})\pi$ -связей.

Прежде чем в согласии со вторым исходным условием построить состояния спиновых $3d$ -мультиплетов, запишем гамильтониан на выбранном базисе из атомных орбиталей. Затем проведем диагонализацию его внутренячечной части. Гамильтониан электронной pd -подсистемы запишем следующим образом:

$$\hat{H} = \hat{H}_d + \hat{H}_p + \hat{H}_{pp} + \hat{H}_{pd},$$

$$\begin{aligned} \hat{H}_d &= \sum_{\mathbf{r}\lambda\sigma} \left[(\varepsilon_\lambda - \mu) \hat{d}_{\lambda\mathbf{r}\sigma}^+ \hat{d}_{\lambda\mathbf{r}\sigma}^- + \frac{1}{2} U_\lambda \hat{n}_{\lambda\mathbf{r}}^\sigma \hat{n}_{\lambda\mathbf{r}}^{-\sigma} + \right. \\ &+ \sum_{\lambda'\sigma'} \left(-J_d \hat{d}_{\lambda\mathbf{r}\sigma}^+ \hat{d}_{\lambda\mathbf{r}\sigma'}^- \hat{d}_{\lambda'\mathbf{r}\sigma'}^+ \hat{d}_{\lambda'\mathbf{r}\sigma'}^- + \right. \\ &\left. \left. + V_{\lambda\lambda'} \hat{n}_{\lambda\mathbf{r}}^\sigma \hat{n}_{\lambda'\mathbf{r}}^{\sigma'} \right) \right], \\ \hat{H}_p &= \sum_{\alpha\sigma} \left[(\varepsilon_\alpha - \mu) \hat{p}_{\alpha\mathbf{i}\sigma}^+ \hat{p}_{\alpha\mathbf{i}\sigma}^- + \frac{1}{2} U_\alpha \hat{n}_{\alpha\mathbf{i}}^\sigma \hat{n}_{\alpha\mathbf{i}}^{-\sigma} + \right. \\ &\left. + \sum_{\alpha'\sigma'} V_{\alpha\alpha'} \hat{n}_{\alpha\mathbf{i}}^\sigma \hat{n}_{\alpha'\mathbf{i}}^{\sigma'} \right], \quad (1) \\ \hat{H}_{pd} &= \sum_{\langle ir \rangle} \sum_{\alpha\lambda\sigma\sigma'} \left(t_{\lambda\alpha} \hat{p}_{\alpha\mathbf{i}\sigma}^+ \hat{d}_{\lambda\mathbf{r}\sigma}^- + \text{H.c.} + V_{\alpha\lambda} \hat{n}_{\alpha\mathbf{i}}^\sigma \hat{n}_{\lambda\mathbf{r}}^{\sigma'} \right), \\ \hat{H}_{pp} &= \sum_{\langle i,j \rangle} \sum_{\alpha\beta\sigma} \left(t_{\alpha\beta} \hat{p}_{\alpha\mathbf{i}\sigma}^+ \hat{p}_{\beta\mathbf{j}\sigma}^- + \text{H.c.} \right), \end{aligned}$$

где $\hat{n}_{\lambda r}^\sigma = \hat{d}_{\lambda i\sigma}^+ \hat{d}_{\lambda i\sigma}^-$; $\hat{n}_{\alpha i}^\sigma = \hat{p}_{\alpha i\sigma}^+ \hat{p}_{\alpha i\sigma}^-$. Индексы « \mathbf{r} » и « $\mathbf{i(j)}$ » пробегают соответственно по позициям $d_x, d_{3x}, p_{x_1}, p_{x_2}, p_z$ в A -подрешетке и $d_y, d_{3x}, p_{y_1}, p_{y_2}, p_z$ в B -подрешетке локализованных атомных орбиталей. Аналогично $\varepsilon_\lambda = \varepsilon_{d_x}$ ($\lambda = d_x, d_{3x}, d_y, d_{3y}$) и $\varepsilon_\alpha = \varepsilon_p$ ($\alpha = p_x, p_y, p_z$) — энергии соответствующих атомных $Mn3d$ - и $O2p$ -орбиталей. Матричные элементы перескока t_{pd} для орбиталей $\lambda = d_x, d_y$; $\alpha = p_x, p_y, p_z$ и $2t_{pd}/\sqrt{3}$ для орбиталей $\lambda = d_{3x}, d_{3y}$, $\alpha = p_x, p_y$,

$$U_\lambda = \begin{cases} U_d, & \lambda = \lambda', \\ V_{dd}, & \lambda \neq \lambda', \end{cases} \quad (\lambda = d_x, d_y, d_{3x}, d_{3y}),$$

$$U_\alpha = \begin{cases} U_p, & \alpha = \alpha', \\ V_{pp}, & \alpha \neq \alpha', \end{cases} \quad (\alpha = p_x, p_y, p_z)$$

— внутриатомные кулоновские взаимодействия; $V_{\alpha\lambda} = V_{pd}$ — энергии кулоновского отталкивания между марганцем и кислородом. В дальнейшем для простоты будем полагать, что все матричные элементы кулоновского и обменного взаимодействий предполагаются не зависящими от вида d - или p -орбиталей, т. е. $U_d = V_{dd}$ и $U_p = V_{pp}$. Для преобразования нашего гамильтониана к ячеекному базису с ячейкой, центрированной на ионе марганца, определим процедуру фурье-преобразования следующим образом:

$$\begin{aligned} \hat{d}_{\lambda\mathbf{k}\sigma} &= \frac{1}{\sqrt{N}} \sum_{\mathbf{f}} \hat{d}_{\lambda\mathbf{f}\sigma} e^{-i\mathbf{k}\cdot\mathbf{f}}, \\ \hat{p}_{\alpha\mathbf{k}\sigma} &= \frac{1}{\sqrt{N}} \sum_{\mathbf{m}} \hat{p}_{\alpha\mathbf{m}\sigma} e^{-i\mathbf{k}\cdot\mathbf{m}} \end{aligned} \quad (2)$$

и перейдем к симметричному базису кислородных орбиталей, сконструировав из атомных орбиталей

p_x, p_y, p_z с помощью линейного преобразования новых функций типа Ваннье:

$$\begin{pmatrix} \hat{b}_{\mathbf{k}} \\ \hat{a}_{\mathbf{k}} \\ \hat{p}_{\mathbf{k}} \end{pmatrix} = \hat{A} \begin{pmatrix} \hat{p}_{x_1 \mathbf{k}} \\ \hat{p}_{x_2 \mathbf{k}} \\ \hat{p}_{z \mathbf{k}} \end{pmatrix} = \begin{pmatrix} e^{ik^+}/\mu_k^b & e^{-ik^+}/\mu_k^b & 2c_z/\mu_k^b \\ 2c_z/\mu_k^a & 2c_z/\mu_k^a & -2\cos(k^+)/\mu_k^a \\ \frac{\text{sign}(k^+)\theta_{x_1 k}}{\mu_k^p} & -\frac{\text{sign}(k^+)\theta_{x_2 k}}{\mu_k^p} & -\frac{\text{sign}(k^+)4ic_z s_{k^+}}{\mu_k^{a^2}\mu_k^p} \end{pmatrix} \begin{pmatrix} \hat{p}_{x_1 \mathbf{k}} \\ \hat{p}_{x_2 \mathbf{k}} \\ \hat{p}_{z \mathbf{k}} \end{pmatrix}. \quad (3)$$

Здесь μ_k^a, μ_k^b и μ_k^p — нормировочные коэффициенты, найденные из условия $\langle \hat{c}_{\mathbf{k}}^+ | \hat{c}'_{\mathbf{p}} \rangle = \delta_{\mathbf{k} \cdot \mathbf{p}} \delta_{cc'}$, где $\hat{c}_{\mathbf{k}} = \hat{b}_{\mathbf{k}}, \hat{a}_{\mathbf{k}}, \hat{p}_{\mathbf{k}}$. А именно:

$$\begin{aligned} \mu_k^a &= \sqrt{2c_z^2 + c_+^2}, \quad \mu_k^b = \sqrt{\frac{1}{2} + c_z^2}, \\ \mu_k^p &= \frac{1}{\mu_k^{a^2}} \sqrt{2|\theta_{\mathbf{k}}|^2 + c_z^2 s_+^2}, \end{aligned} \quad (4)$$

где

$$\begin{aligned} \theta_{x_1 \mathbf{k}} &= \frac{1}{\mu_k^{a^2}} \left((c_z^2 + c_+^2) \exp\left(\frac{ik^+}{4}\right) + \right. \\ &\quad \left. + (c_z^2) \exp\left(-\frac{ik^+}{4}\right) \right), \quad \theta_{x_2 \mathbf{k}} = \theta_{x_1 \mathbf{k}}^*, \quad k^\pm = k_x \pm k_y. \end{aligned}$$

Для сокращения записи введены новые обозначения: $c_z = \cos(k_z/2)$, $c_\pm = \cos(k^\pm/4)$, $s_\pm = \sin(k^\pm/2)$. Формула (3) определяет кислородные состояния для A -подрешетки. Для того чтобы провести такую же процедуру для B -подрешетки, необходима замена $x \leftrightarrow y$ в обозначениях исходных атомных орбиталей и $k^+ \leftrightarrow k^-$ в матрице преобразования \hat{A} . Мы работаем в системе координат $\mathbf{k} = \mathbf{k}_x + \mathbf{k}_y + \mathbf{k}_z$, где $\mathbf{k}_x = (\mathbf{k}'_x + \mathbf{k}'_y)/2$, $\mathbf{k}_y = (\mathbf{k}'_x - \mathbf{k}'_y)/2$, $\mathbf{k} = \mathbf{k}'_z$. Здесь расстояние между ближайшими ионами марганца, которое мы полагаем одинаковым во всех трех направлениях: $a_x = a_y = a_z = 1$. Штрих относится к исходной системе координат неискаженной кубической структуры.

Как будет видно в дальнейшем, новые кислородные $b(a)$ -орбитали хорошо смешиваются в отдельной ячейке с d_x (d_{3y})-состояниями, поэтому мы присвоили им обозначения, которые обычно относят к неприводимым представлениям, по которым преобразуются d_x (d_{3y})-орбитали. Выделим «внутриячеечные» и «межъячеечные» взаимодействия в отдельные слагаемые в гамильтониане, записанном в новом представлении:

$$\hat{H} = \hat{H}_0 + \hat{H}_{cc},$$

где

$$\hat{H}_0 = \sum_{G=A,B} \sum_{\mathbf{f}\sigma} \left(\hat{h}_G^{(a)} + \hat{h}_G^{(b)} + \hat{h}_G^{(ab)} \right), \quad (5)$$

$$\begin{aligned} \hat{h}_A^{(b)} &= (\varepsilon_b \hat{n}_b^\sigma + \varepsilon_p \hat{n}_p^\sigma + \varepsilon_{d_x} \hat{n}_{d_x}^\sigma) + \frac{1}{2} U_d \hat{n}_{d_x}^\sigma \hat{n}_{d_x}^{-\sigma} + \\ &\quad + \frac{1}{2} U_p \sum_{\alpha=b,p} \hat{n}_\alpha^\sigma \hat{n}_\alpha^{-\sigma} + \\ &\quad + V_{pd} \sum_{\alpha=b,p} \sum_{\sigma'} \hat{n}_{d_x}^\sigma \hat{n}_\alpha^{\sigma'} + 2t_{pd} \mu_{000}^b \left(\hat{d}_{x\sigma}^+ \hat{b}_\sigma + \text{H.c.} \right) - \\ &\quad - 2t_{pp} \gamma_{000}^{bp} \left(\hat{b}_\sigma^+ \hat{p}_\sigma + \text{H.c.} \right), \\ \hat{h}_A^{(a)} &= (\varepsilon_a \hat{n}_a^\sigma + \varepsilon_{d_{3y}} \hat{n}_{d_{3y}}^\sigma) + \\ &\quad + \frac{1}{2} U_d \hat{n}_{d_{3y}}^\sigma \hat{n}_{d_{3y}}^{-\sigma} + \frac{1}{2} U_a \hat{n}_a^\sigma \hat{n}_a^{-\sigma} + \\ &\quad + \sum_{\sigma'} V_{pd} \hat{n}_{d_{3y}}^\sigma \hat{n}_a^{\sigma'} - \frac{2t_{pd} \lambda_{000}}{\sqrt{3}} \left(\hat{d}_{3y\sigma}^+ a_\sigma + \text{H.c.} \right), \\ \hat{h}_A^{(ab)} &= U_d \sum_{\sigma'} \hat{n}_{d_x}^\sigma \hat{n}_{d_{3y}}^{\sigma'} + U_{ab} \hat{n}_a^\sigma \hat{n}_b^{\sigma'} + V_{pd} \hat{n}_{d_x}^\sigma \hat{n}_a^{\sigma'} + \\ &\quad + V_{pd} \hat{n}_b^\sigma \hat{n}_{d_{3y}}^{\sigma'} + \frac{2t_{pd} \xi_{000}}{\sqrt{3}} \left(\hat{d}_{3y\sigma}^+ b_\sigma + \text{H.c.} \right) - \\ &\quad - \frac{2t_{pd} \beta_{000}}{\sqrt{3}} \left(\hat{d}_{3y\sigma}^+ p_\sigma + \text{H.c.} \right), \end{aligned}$$

где $\varepsilon_b = \varepsilon_p^0 - 2t_{pp} \gamma_{000}^{bb}$, $\varepsilon_a = \varepsilon_p^0 + 2t_{pp} \gamma_{000}^{aa}$, $\varepsilon_p = \varepsilon_p^0 - 2t_{pp} \gamma_{000}^{pp}$. Для краткости в (5) мы опустили узельный индекс « \mathbf{f} ». Поскольку имеет место соотношение $|\mu_{000}^b| = 0.983| > |\xi_{000} = -0.0713|$, отражающее слабую ab -гибридизацию в каждой из ячеек, мы разобъем «межъячеечные» слагаемые подобным же образом:

$$\begin{aligned} \hat{H}_{cc} &= \sum_{GP} \sum_{(\mathbf{i}\mathbf{j})\sigma} \left[\left(\hat{h}_{GP}^a + \hat{h}_{GP}^b + \hat{h}_{GP}^{ab} \right) \delta_{GP} + \right. \\ &\quad \left. + \hat{h}_{GP} (1 - \delta_{GP}) \right], \quad (6) \end{aligned}$$

где

$$\begin{aligned}\hat{h}_{AA}^{(b)} &= 2t_{pd}\mu_{ij}^b \left(\hat{d}_{x\mathbf{i}\sigma}^+ \hat{b}_{j\sigma} + \text{H.c.} \right) - 2t_{pp}\gamma_{ij}^{bb}\hat{b}_{i\sigma}^+ \hat{b}_{j\sigma} + \\ &+ 2t_{pp}\gamma_{ij}^{pp}\hat{p}_{i\sigma}^+ \hat{p}_{j\sigma} - 2t_{pp}\gamma_{ij}^{bp} \left(\hat{b}_{i\sigma}^+ \hat{p}_{j\sigma} + \text{H.c.} \right), \\ \hat{h}_{AA}^{(a)} &= 2\frac{t_{pd}\lambda_{ij}}{\sqrt{3}} \left(\hat{d}_{3y\mathbf{i}\sigma}^+ \hat{a}_{j\sigma} + \text{H.c.} \right) + 2t_{pp}\gamma_{ij}^{aa}\hat{a}_{i\sigma}^+ \hat{a}_{j\sigma}, \\ \hat{h}_{AA}^{(ab)} &= 2\frac{t_{pd}\xi_{ij}}{\sqrt{3}} \left(\hat{d}_{3y\mathbf{i}\sigma}^+ \hat{b}_{j\sigma} + \text{H.c.} \right) + \\ &+ 2\frac{t_{pd}\beta_{ij}}{\sqrt{3}} \left(\hat{d}_{3y\mathbf{i}\sigma}^+ \hat{b}_{j\sigma} + \text{H.c.} \right) - 2t_{pp}\gamma_{ij}^{ab} \left(\hat{a}_{i\sigma}^+ \hat{b}_{j\sigma} + \text{H.c.} \right)\end{aligned}$$

для перескоков в пределах одной подрешетки и

$$h_{GP} = -2 \left(\frac{t_{pd}}{\sqrt{3}} \right) \hat{d}_{3y\mathbf{i}\sigma}^{+(G)} \sum_{c=a,b,p} \left(\alpha_{ij}^{c(P)} \hat{c}_{j\omega}^{(P)} + \text{H.c.} \right)$$

для межподрешеточных перескоков. Зависимость коэффициентов μ^b , λ , ξ , β для внутриподрешеточных и $\alpha^{a(G)}$, $\alpha^{b(G)}$, $\alpha^{p(G)}$ для межподрешеточных pd -взаимодействий, а также γ^{aa} , γ^{bb} , γ^{pp} , γ^{ab} , γ^{bp} , γ^{ap} для внутриподрешеточных pp -взаимодействий от расстояния между ячейками дана в таблице. Обозначения $[m, n, l]$ относятся к координатам j -й ячейки по отношению к i -й ячейки. Например, запись $1 = [1/2, 1/2, 0]$ обозначает ячейку, находящуюся в первой координационной сфере i -й ячейки, но прилежащую другой подрешетке. В свою очередь, запись $2 = [1, 0, 0]$ обозначает ячейку, находящуюся во второй координационной сфере i -й ячейки, в той же подрешетке.

Гамильтониан, переписанный таким образом, содержит в \hat{H}_0 все pd - и pp -гибридизационные (перескок), кулоновские и обменные взаимодействия внутри ячейки. При этом коэффициенты, приведенные в таблице, быстро убывают с расстоянием. Поэтому в \hat{H}_{cc} мы оставляем pd - и pp -гибридизационные взаимодействия, опуская кулоновские и обменные взаимодействия между ячейками, которые малы по сравнению с внутриячеенными [16] и перенормируют их, а также приводят к более сложным перескокам с участием трех и четырех ячеек [11].

3. ПОСТРОЕНИЕ КОНФИГУРАЦИОННОГО ПРОСТРАНСТВА ЭЛЕКТРОННОЙ СИСТЕМЫ НА БАЗЕ ВЫСОКОСПИНОВЫХ СОСТОЯНИЙ ($S = 5/2, 2, 3/2$)

Гамильтониан \hat{H}_0 диагонализуется в пространстве многочастичных функций, отвечающих всем возможным распределениям электронов по одиноччастичным состояниям. Операторы рождения

d -электрона могут быть записаны через операторы Хаббарда, действующие в пространстве многочастичных d -состояний $|e_g^2, M_{5/2}\rangle$, $|h_{d_x}, M_2\rangle$, $|h_{d_{3y}}, M_2\rangle$, $|t_{2g}^3, M_{3/2}\rangle$ (см. (8), (9) и (11)), и имеют вид

$$\begin{aligned}\hat{d}_{\mathbf{f}\chi\sigma}^+ &= \sum_{M=-2}^2 \begin{pmatrix} u_1(M) \\ v_1(M) \end{pmatrix} \hat{X}_{\mathbf{f}}^{|h_{d,-\chi,M}\rangle \langle t_{2g}^3, M-\sigma|} + \\ &+ \sum_{M=-5/2}^{5/2} \chi \begin{pmatrix} u_2(M) \\ v_2(M) \end{pmatrix} \hat{X}_{\mathbf{f}}^{|e_g^2, M\rangle \langle h_{d,\chi}, M-\sigma|},\end{aligned}\quad (7)$$

где

$$\chi = \begin{cases} +1, \lambda = x, y, \\ -1, \lambda = 3x, 3y, \end{cases}$$

верхняя строка для спина $\sigma = \uparrow$, нижняя для $\sigma = \downarrow$,

$$u_1^2(M) = \frac{2+M}{4}, \quad v_1^2(M) = \frac{2-M}{4},$$

$$u_2^2(M) = \frac{5/2+M}{5}, \quad v_2^2(M) = \frac{5/2-M}{5}.$$

Данный оператор действует только на электроны, находящиеся на e_g -оболочке, и не затрагивает t_{2g} -электроны. Как следствие, в гамильтониане системы в целом имеет место перенос спиновой плотности с e_g -оболочки на лиганды и спин $S = 3/2$ на t_{2g} -оболочке. Результирующий спин конструируется в соответствии с правилом Хунда. Используя эти операторы, мы можем построить многочастичные функции, соответствующие следующим секторам конфигурационного пространства:

высокоспиновому сектору d^5p^6 ($S = 5/2$) с наполовину заполненной $t_{2g}^3e_g^2$ -оболочкой $3d\text{Mn}$ — квазичастичный «вакуумный» сектор;

однодырочному сектору, где основное состояние образуют расщепленные состояния спинового мультиплета 5e_g , являющиеся комбинацией d^4p^6 - и d^5p^5 - ($S = 2$)-конфигураций;

двуходырочному сектору конфигурационного пространства, где основное состояние представляет собой линейную комбинацию d^3p^6 -, d^4p^5 - и d^5p^4 - ($S = 3/2$)-конфигураций.

В однодырочном секторе мы имеем дело с двумя спиновыми мультиплетами 5a и 5b с различной орбитальной симметрией и небольшой гибридизацией между ними, так как в присутствии сверхрешетки $\sqrt{2} \times \sqrt{2}$ a - и b -состояния смешиваются. Дырка может находиться на любой из d -орбиталей или на любой из кислородных орбиталей. Введем следующие обозначения для наполовину заполненной d -оболочки

	$0 = [0, 0, 0]$	$2 = [1, 0, 0]$	$1 = [1/2, 1/2, 0]$	$1 = [1/2, -1/2, 0]$	$1 = [0, 0, 1]$
Для pd-взаимодействий в A- и B-подрешетках					
μ_{mnl}	0.9833	0.0466			0.1282
λ_{mnl}	0.7482	0.0704			0.1641
ξ_{mnl}	-0.0713	0.0034			-0.2708
β_{mnl}	0.0000	0.0000			0.0000
Для pp-взаимодействий в A- и B-подрешетках					
γ_{mnl}^{bb}	0.4226	0.0200			0.1547
γ_{mnl}^{aa}	0.3287	0.0398			0.1125
γ_{mnl}^{pp}	0.0235	-0.0049			0.0106
γ_{mnl}^{ab}	0.0907	0.0096			0.1157
γ_{mnl}^{ap}	0.3037	0.0251			-0.1502
γ_{mnl}^{ap}	0.0000	0.0000			0.0000
Для pd-взаимодействий между A- и B-подрешетками					
$\alpha_{mnl}^{b(G)}$			-0.1426, $G = A$ 0, $G = B$	-0.1426, $G = B$ 0, $G = A$	
$\alpha_{mnl}^{a(G)}$			0.0286, $G = A$ 0, $G = B$	0.0286 $G = A$ 0, $G = B$	
$\alpha_{mnl}^{p(G)}$			0.0325, $G = A$ 0, $G = B$	0.0325, $G = B$ 0, $G = A$	

$$\begin{aligned}
& |e_g^2, M_{S=5/2}\rangle = \\
& = u_2(M_{5/2}) \left[u_1 \left(M_{5/2} - \frac{1}{2} \right) d_{x\uparrow}^+ d_{3y\uparrow}^+ |t_{2g}^3, M_{5/2} - 1\rangle + \right. \\
& \quad + v_1 \left(M_{5/2} - \frac{1}{2} \right) d_{x\downarrow}^+ d_{3y\uparrow}^+ |t_{2g}^3, M_{5/2}\rangle \Big] + \\
& \quad + v_2(M_{5/2}) \left[u_1 \left(M_{5/2} + \frac{1}{2} \right) d_{x\uparrow}^+ d_{3y\downarrow}^+ |t_{2g}^3, M_{5/2}\rangle + \right. \\
& \quad \left. + v_1 \left(M_{5/2} + \frac{1}{2} \right) d_{x\downarrow}^+ d_{3y\downarrow}^+ |t_{2g}^3, M_{5/2} + 1\rangle \right]
\end{aligned}$$

и $|d_\chi, M_{S=2}\rangle$ (см. (8)) для состояния с дыркой в одном из e_g -состояний. Применение оператора (7) с дополнительным требованием нормировки позволяет достроить набор многочастичных функций до следующего:

$$\begin{aligned}
& |h_b, M_2\rangle = \\
& = \alpha_{5/2} [u_2(M_2 + 1/2) |e_g^2, M_2 + 1/2\rangle |a^2, p^2, b_\downarrow\rangle - \\
& \quad - v_2(M_2 - 1/2) |e_g^2, M_2 - 1/2\rangle |a^2, p^2, b_\uparrow\rangle], \\
& |h_{d_x}, M_2\rangle = \left\{ u_1(M_2) d_{3y\uparrow}^+ |t_{2g}^3, M_2 - 1/2\rangle + \right. \\
& \quad \left. + v_1(M_2) d_{3y\downarrow}^+ |t_{2g}^3, M_2 + 1/2\rangle \right\} |p^6\rangle,
\end{aligned} \tag{8}$$

$$\begin{aligned}
& |h_p, M_2\rangle = \\
& = \alpha_{5/2} [u_2(M_2 + 1/2) |e_g^2, M_2 + 1/2\rangle |a^2, p_\downarrow, b^2\rangle - \\
& \quad - v_2(M_2 - 1/2) |e_g^2, M_2 - 1/2\rangle |a^2, p_\uparrow, b^2\rangle]
\end{aligned}$$

с одной дыркой в исходном b -блоке и

$$\begin{aligned}
& |h_a, M_2\rangle = \\
& = \alpha_{5/2} [u_2(M_2 + 1/2) |e_g^2, M_2 + 1/2\rangle |a_\downarrow, p^2, b^2\rangle - \\
& \quad - v_2(M_2 - 1/2) |e_g^2, M_2 - 1/2\rangle |a_\uparrow, p^2, b^2\rangle], \\
& |h_{d_{3Y}}, M_2\rangle = \left\{ u_1(M_2) d_{x\uparrow}^+ |t_{2g}^3, M_2 - 1/2\rangle + \right. \\
& \quad \left. + v_2(M_2) d_{x\downarrow}^+ |t_{2g}^3, M_2 + 1/2\rangle \right\} |p^6\rangle
\end{aligned} \tag{9}$$

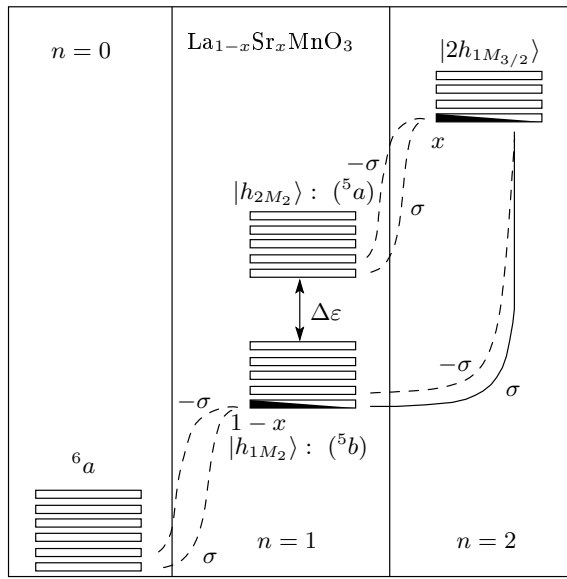


Рис. 2. Конфигурационное пространство носителя в $\text{La}_{1-x}\text{Sr}_x\text{MnO}_3$. Сплошной линией показаны переходы, соответствующие валентной зоне, штриховой — зонам внутрищелевых состояний. Указаны также спиновые индексы для квазичастиц, участвующих в переходе; $n = 0$, $n = 1$ и $n = 2$ соответствуют вакуумному, одночастичному и двухчастичному секторам; $|h_{1M_2}\rangle$, $|h_{2M_2}\rangle$ соответствуют смешивающимся 5b - и 5a -состояниям, $|2h_{1M_{3/2}}\rangle$ — основное состояние в двухдырочном секторе. Обозначения состояний приведены в соответствии с текстом

с дыркой в a -блоке. Здесь

$$\alpha_{5/2} = \sqrt{\frac{2S_{5/2}}{2S_{5/2} + 1}}$$

— нормировка для волновых функций ячейки с дыркой на орбиталях кислорода; $u_i(M_2)$, $v_i(M_2)$ — коэффициенты векторного сложения, возникающие при разложении волновой функции в однодырочном секторе по волновым функциям конфигурации ($S = 3/2$) и добавочного электрона ($\sigma = 1/2$) в одном из возможных состояний.

Таким образом, в однодырочном секторе на базе $|h_a, M_2\rangle$, $|d_{3y}, M_2\rangle$ и $|h_{d_x}, M_2\rangle$, $|h_b, M_2\rangle$, $|h_p, M_2\rangle$ собственные состояния $|1h_{iM_2}\rangle = \sum_c \beta_i(c)|h_c, M_2\rangle$, где $c = a, d_{3x}, b, p, d_x$, с энергиями ε_{iM_2} ($i = 1, \dots, 5$) найдены с помощью точной диагонализации матрицы

$$\begin{pmatrix} E_{d_x} & \alpha_{5/2}\tau_b & 0 & 0 & 0 \\ \alpha_{5/2}\tau_b & E_b & \alpha_{5/2}\tau_{db} & \tau_{ab} & \tau_{bp} \\ 0 & \alpha_{5/2}\tau_{db} & E_{d_{3x}} & \alpha_{5/2}\tau_a & 0 \\ 0 & \tau_{ab} & \alpha_{5/2}\tau_a & E_a & 0 \\ 0 & \tau_{bp} & 0 & 0 & E_p \end{pmatrix} \times \times \sigma_{M_2, M'_2}, \quad (10)$$

где

$$\tau_b = 2t_{pd}\mu_{00}, \quad \tau_a = -\frac{2}{\sqrt{3}}t_{pd}\lambda_{000}, \quad \tau_{ab} = -2t_{pp}\gamma_{000}^{bp},$$

$$\tau_{bp} = -2t_{pp}\gamma_{000}^{bp}, \quad \tau_{ap} = -2t_{pp}\gamma_{000}^{ap} \approx 0,$$

$$\tau_{dp} = \frac{2}{\sqrt{3}}t_{pd}\beta_{000} \approx 0, \quad \tau_{dp} = -\frac{2}{\sqrt{3}}t_{pd}\xi_{000},$$

$$E_{d_x} = \varepsilon_{d_{3x}} + 2(\varepsilon_a + \varepsilon_p + \varepsilon_b) + 3U_p + 6V_{pd} + 12V_{pp},$$

$$E_b = \varepsilon_{d_z} + \varepsilon_{d_x} + 2(\varepsilon_a + \varepsilon_p) + \varepsilon_b + U_d - J_H + 2U_p + 10V_{pd} + 8V_{pp},$$

$$E_p = \varepsilon_{d_z} + \varepsilon_{d_x} + 2(\varepsilon_a + \varepsilon_b) + \varepsilon_p + U_d - J_H + 2U_p + 10V_{pd} + 8V_{pp},$$

$$E_{d_{3y}} = \varepsilon_{d_z} + 2(\varepsilon_a + \varepsilon_p + \varepsilon_b) + 3U_p + 6V_{pd} + 12V_{pp},$$

$$E_a = \varepsilon_{d_z} + \varepsilon_{d_x} + 2(\varepsilon_p + \varepsilon_b) + \varepsilon_a + U_d - J_H + 2U_p + 10V_{pd} + 8V_{pp}.$$

В соответствии с пятью возможными спиновыми проекциями $M_2 = -2, \dots, 2$, каждая позиция распадается на пять возможных. Исходный базис для двухдырочного сектора ($S = 3/2$) выглядит следующим образом:

$$|h_{d_x}, h_a, M_{3/2}\rangle = \alpha_2 \{ u_1(M_{3/2} + 1/2) \times |d_{3y}, M_{3/2} + 1/2\rangle |a_\downarrow p^2 b^2\rangle + v_1(M_{3/2} - 1/2) |d_{3y}, M_{3/2} - 1/2\rangle |a_\uparrow p^2 b^2\rangle \},$$

$$|h_{d_x}, h_p, M_{3/2}\rangle = \alpha_2 \{ u_1(M_{3/2} + 1/2) \times |d_{3y}, M_{3/2} + 1/2\rangle |a^2 p_\downarrow b^2\rangle + v_1(M_{3/2} - 1/2) |d_{3y}, M_{3/2} - 1/2\rangle |a^2 p_\uparrow b^2\rangle \},$$

$$|h_{3y}, h_b, M_{3/2}\rangle = \alpha_2 \{ u_1(M_{3/2} + 1/2) \times |d_x, M_{3/2} + 1/2\rangle |a^2 p^2 b_\downarrow\rangle + v_1(M_{3/2} - 1/2) |d_x, M_{3/2} - 1/2\rangle |a^2 p^2 b_\uparrow\rangle \},$$

$$|h_{d_x}, h_{d_{3y}}, M_{3/2}\rangle = |t_{2g}^3, M_{3/2}\rangle |p^6\rangle,$$

$$\begin{aligned} |h_a, h_b, M_{3/2}\rangle &= \\ &= \alpha_2 \alpha_{5/2} \{ u_2(M_{3/2} + 1) u_1(M_{3/2} + 1/2) \times |e_g^2, M_{3/2} + 1\rangle |a_\downarrow, p^2, b_\downarrow\rangle - u_2(M_{3/2}) v_1(M_{3/2} - 1/2) |e_g^2, M_{3/2}\rangle |a_\downarrow, p^2, b_\uparrow\rangle - \end{aligned}$$

$$\begin{aligned} & -v_2(M_{3/2})u_1(M_{3/2}+1/2)|e_g^2, M_{3/2}\rangle|a_\uparrow, p^2, b_\downarrow\rangle + \\ & + v_2(M_{3/2}-1)v_1(M_{3/2}-1/2)|e_g^2, M_{3/2}-1\rangle \times \\ & \times |a_\uparrow, p^2, b_\downarrow\rangle \}, \end{aligned}$$

$$\begin{aligned} & |h_p, h_b, M_{3/2}\rangle = \\ & = \alpha_2\alpha_{5/2}\{u_2(M_{3/2}+1)u_1(M_{3/2}+1/2) \times \\ & \times |e_g^2, M_{3/2}+1\rangle|a^2, p_\downarrow, b_\downarrow\rangle - \\ & - u_2(M_{3/2})v_1(M_{3/2}-1/2)|e_g^2, M_{3/2}\rangle|a^2, p_\downarrow, b_\uparrow\rangle - \\ & - v_2(M_{3/2})u_1(M_{3/2}+1/2)|e_g^2, M_{3/2}\rangle|a^2, p_\uparrow, b_\downarrow\rangle + \\ & + v_2(M_{3/2}-1)v_1(M_{3/2}-1/2)|e_g^2, M_{3/2}-1\rangle \times \\ & \times |a^2, p_\uparrow, b_\uparrow\rangle \}, \end{aligned} \quad (11)$$

где

$$\alpha_2 = \sqrt{\frac{2S_2}{2S_2+1}}$$

и в левой части также использованы «дырочные» обозначения. В двухдырочном секторе собственные состояния ищем в виде $|2h_{iM_{3/2}}\rangle = \sum_{cc'} B_i(c, c')|h_C, H_{C'}, M_{3/2}\rangle$, $q = 1, \dots, 6$, где энергии $\varepsilon_{iM_{3/2}}$ и соответствующие им коэффициенты B_{iq} находятся с помощью диагонализации матрицы

$$\left(\begin{array}{cccccccccc} E_{ad_x} & -\alpha_{5/2}\tau_b & \alpha_2\tau_a & 0 & 0 & 0 & 0 & 0 & 0 & \tau_{ab} \\ -\alpha_{5/2}\tau_b & E_{ab} & 0 & \alpha_{5/2}\tau_a & 0 & 0 & -\alpha_{5/2}\tau_{bd} & \tau_{bp} & 0 & 0 \\ \alpha_2\tau_a & 0 & E_{dd} & -\alpha_2\tau_b & 0 & 0 & 0 & 0 & 0 & \alpha_2\tau_{bd} \\ 0 & \alpha_{5/2}\tau_a & -\alpha_2\tau_b & E_{bd_{3x}} & 0 & 0 & \tau_{ab} & 0 & \tau_{bp} & 0 \\ 0 & 0 & 0 & 0 & E_{pd_x} & -\alpha_{5/2}\tau_b & 0 & 0 & 0 & \tau_{bp} \\ 0 & 0 & 0 & 0 & -\alpha_{5/2}\tau_b & E_{pb} & 0 & -\tau_{ab} & -\alpha_{5/2}\tau_{bd} & 0 \\ 0 & -\alpha_{5/2}\tau_{bd} & 0 & \tau_{ab} & 0 & 0 & E_{ad_{3x}} & 0 & 0 & 0 \\ 0 & \tau_{bp} & 0 & 0 & 0 & -\tau_{ab} & 0 & E_{ap} & \alpha_{5/2}\tau_a & 0 \\ 0 & 0 & 0 & \tau_{bp} & 0 & -\alpha_{5/2}\tau_{bd} & 0 & \alpha_{5/2}\tau_a & E_{pd_{3x}} & 0 \\ \tau_{ab} & 0 & \alpha_2\tau_{bd} & 0 & \tau_{bp} & 0 & 0 & 0 & 0 & E_{bd_x} \end{array} \right) \times \delta_{M_{3/2}M'_{3/2}} \quad (12)$$

с общей размерностью прямого произведения матриц 40×40 . По результатам точной диагонализации редуцируем конфигурационное пространство системы до показанного на рис. 2, где мы имеем два орбитально невырожденных *a*- и *b*-терма в однодырочном секторе. Остальные термы лежат гораздо выше по энергии и несущественны для физики низкоэнергетических возбуждений. В зависимости от параметров гамильтониана *H* расщепление между слабо смешивающимися орбитальными 5a - и 5b -синглетами имеет порядок $\Delta\varepsilon \approx 0.2\text{--}0.5$ эВ. Наличие двух близких по энергии состояний $|1h_{1M_2}\rangle$ и $|1h_{2M_2}\rangle$ приводит к необходимости одновременного их учета в качестве базисных состояний нашего расчета и невозможности дальнейшей редукции гамильтониана к какой-либо эффективной однозонной модели. При этом, в отличие от купратов [11], из-за наличия большого спина $S = 3/2$ на t_{2g} -оболочке в двухдырочном секторе имеет место ситуация с одним высокоспиново-

вым термом, отделенным от возбужденных термов энергетическим интервалом ~ 1 эВ. Это состояние является аналогом состояния Жанга–Райса в купратах. Таким образом, мы получили новый редуцированный набор высокоспиновых функций ячейки, определяющих низкоэнергетические возбуждения электронной системы в LaMnO₃.

4. ВЫВОД ДИСПЕРСИОННОГО УРАВНЕНИЯ

Для работы с «перескоковой» частью общего гамильтониана \hat{H}_{cc} удобно использовать представление операторов Хаббарда, аналогичных (7), но действующих в пространстве многоэлектронных функций (8), (9), (11). Любой одноэлектронный оператор может быть записан с помощью операторов Хаббарда $\hat{X}_f^{pq} = |p\rangle\langle q|$ в виде

$$\hat{c}_{\lambda \mathbf{f} \sigma} = \sum_m \gamma_{\lambda \sigma}(m) \hat{X}_{\mathbf{f}}^m,$$

где

$$\hat{c}_{\lambda \mathbf{f} \sigma} = \hat{d}_{x \mathbf{f} \sigma}, \hat{d}_{z \mathbf{f} \sigma}, \hat{a}_{\mathbf{f} \sigma}, \hat{b}_{\mathbf{f} \sigma}, \hat{p}_{z \mathbf{f} \sigma}$$

и m — номер корневого вектора $\alpha_m(pq)$. Для упрощения работы с операторами Хаббарда используются обозначения Зайцева [22], где каждой паре состояний «начальное–конечное» $|q\rangle \rightarrow |p\rangle$ соответствует корневой вектор $\alpha_m(pq)$, так что

$$\hat{X}_{\mathbf{f}}^{pq} \rightarrow \hat{X}_{\mathbf{f}}^{\alpha_m(pq)} \rightarrow \hat{X}_{\mathbf{f}}^m.$$

Индексы « p » и « q » нумеруют состояния (8), (9) и (11), поэтому матричные элементы амплитуды перескоков $\gamma_{\lambda \sigma}(m) = \langle p | \hat{c}_{\lambda \mathbf{f} \sigma} | q \rangle$ ($m = 1, 2, \dots, 400$ в орбитально-упорядоченной AFM-фазе), соответствующих этим корневым векторам, вычисляются непосредственно с помощью коэффициентов $B_i(c, c')$, $\beta_i(c)$ и представляют собой парциальные амплитуды переходов между отдельными многоэлектронными состояниями. В отличие от операторов Хаббарда, операторы рождения (уничтожения) действуют

на состояния во всех секторах конфигурационного пространства системы.

Спиновые мультиплеты, составляющие совокупность многоэлектронных состояний (8), (9) и (11), могут принадлежать различным орбитальным и магнитным подрешеткам, поэтому в согласии с наличием двух орбитальных подрешеток A и B мы введем векторы \mathbf{R}_1 для внутриподрешеточных и \mathbf{R}_2 для межподрешеточных соседей. В AFM-фазе каждая из орбитальных подрешеток состоит, в свою очередь, из магнитных подрешеток, чередующихся по оси z . В пределах магнитной подрешетки имеет место ферромагнитное упорядочение в xy -плоскости. Это A -тип AFM-упорядочения, наблюдаемый в LaMnO₃. Поскольку введение различных подрешеток представляет лишь технические проблемы, мы, не усложняя вычисления, выведем дисперсионное уравнение для орбитально-упорядоченного однородного магнитного состояния, т. е. для РМ- и FM-фаз. В этом случае гамильтониан межъячеекных перескоков можно записать в виде

$$\begin{aligned} \hat{H}_{cc} = \sum_{G,P} \hat{H}_{cc}^{GP} &= \sum_{\mathbf{f}} \sum_{\lambda \lambda' \sigma} \left\{ \sum_{\mathbf{R}_1} \sum_G T_{\lambda \lambda'}^G(\mathbf{R}_1) \left(\hat{c}_{\mathbf{f} \lambda \sigma}^{+(G)} \hat{c}_{\mathbf{f} + \mathbf{R}_1 \lambda' \sigma}^{(G)} + \text{H.c.} \right) + \right. \\ &\quad \left. + \sum_{\mathbf{R}_2} \sum_{G \neq P} T_{\lambda \lambda'}^{GP}(\mathbf{R}_2) \left(\hat{c}_{\mathbf{f} \lambda \sigma}^{+(G)} \hat{c}_{\mathbf{f} + \mathbf{R}_2 \lambda' \sigma}^{(P)} + \text{H.c.} \right) \right\} = \\ &= \sum_{\lambda \lambda' \sigma} \sum_{kmn} \left\{ \gamma_{\lambda \sigma}^*(m) \gamma_{\lambda' \sigma}(n) \left[T_{\lambda \lambda'}^{AA}(\mathbf{k}) \hat{X}_{\mathbf{k}}^{+m} \hat{X}_{\mathbf{k}}^n + T_{\lambda \lambda'}^{BB}(\mathbf{k}) \hat{Y}_{\mathbf{k}}^{+m} \hat{Y}_{\mathbf{k}}^n + \right. \right. \\ &\quad \left. \left. + T_{\lambda \lambda'}^{AB}(\mathbf{k}) \hat{X}_{\mathbf{k}}^{+m} \hat{Y}_{\mathbf{k}}^n + T_{\lambda \lambda'}^{BA}(\mathbf{k}) \hat{Y}_{\mathbf{k}}^{+m} \hat{X}_{\mathbf{k}}^n \right] + \text{H.c.} \right\}, \quad (13) \end{aligned}$$

где

$$T_{\lambda \lambda'}^{GG}(\mathbf{k}) = \frac{2}{N} \sum_{\mathbf{R}_1} T_{\lambda \lambda'}^{GG}(\mathbf{R}_1) e^{i\mathbf{k} \cdot \mathbf{R}_1}, \quad T_{\lambda \lambda'}^{GP}(\mathbf{k}) = \frac{2}{N} \sum_{\mathbf{R}_2} T_{\lambda \lambda'}^{GP}(\mathbf{R}_2) e^{i\mathbf{k} \cdot \mathbf{R}_2} \neq T_{\lambda \lambda'}^{PG}(\mathbf{k}),$$

так как $T_{\lambda \lambda'}^{AB}(\mathbf{k})$ и $T_{\lambda \lambda'}^{BA}(\mathbf{k})$ определяют дисперсию в различных \mathbf{k} -направлениях (см. таблицу), $\hat{X}_{\mathbf{k}}^m$, $\hat{Y}_{\mathbf{k}}^n$ — фурье-образы операторов Хаббарда соответственно по орбитальным A - и B -подрешеткам. В пределах одной из подрешеток на базисе $d_x(d_y)$, $d_{3y}(d_{3x})$ орбиталей a , p , b матрица перескоков имеет вид

$$T_{\lambda \lambda'}^G(\mathbf{R}_1) = \begin{pmatrix} 0 & 0 & 2t_{pd}\mu & 0 & 0 \\ 0 & 0 & -2t_{pd}\xi/\sqrt{3} & -2t_{pd}\lambda/\sqrt{3} & 2t_{pd}\beta/\sqrt{3} \\ 2t_{pd}\mu & -2t_{pd}\xi/\sqrt{3} & -2t_{pp}\gamma^{bb} & -2t_{pp}\gamma^{ab} & -2t_{pp}\gamma^{bp} \\ 0 & 2t_{pd}\lambda/\sqrt{3} & -2t_{pp}\gamma^{ab} & 2t_{pp}v & -2t_{pp}\gamma^{ap} \\ 0 & 2t_{pd}\beta/\sqrt{3} & -2t_{pp}\gamma^{bp} & -2t_{pp}\gamma^{ap} & -2t_{pp}\gamma^{pp} \end{pmatrix} \quad (14)$$

с матричными элементами $T_{\lambda \lambda'}^G(\mathbf{R}_1)$. Соответственно матрица межподрешеточных переходов имеет вид

$$T_{\lambda\lambda'}^{GP}(\mathbf{R}_2) = \begin{pmatrix} 0 & 0 & 0 & 0 & 0 \\ 0 & 0 & -2t_{pd}\alpha^{b(G)}/\sqrt{3} & -2t_{pd}\alpha^{a(G)}/\sqrt{3} & -2t_{pd}\alpha^{p(G)}/\sqrt{3} \\ 0 & -2t_{pd}\alpha^{b(G)}/\sqrt{3} & 0 & 0 & 0 \\ 0 & -2t_{pd}\alpha^{a(G)}/\sqrt{3} & 0 & 0 & 0 \\ 0 & -2t_{pd}\alpha^{p(G)}/\sqrt{3} & 0 & 0 & 0 \end{pmatrix} \quad (15)$$

с матричными элементами $T_{\lambda\lambda'}^{GP}(\mathbf{R}_2)$. Уравнение движения для операторов X_f^m, Y_g^n имеют вид

$$i\dot{\hat{X}}_{\mathbf{f}}^m = [\hat{X}_{\mathbf{f}}^m, \hat{H}] = \Omega_m \hat{X}_{\mathbf{f}}^m + [\hat{X}_{\mathbf{f}}^m, \hat{H}_{cc}], \quad (16)$$

где $\Omega_m^G = \Omega^G(\boldsymbol{\alpha}_m) = \varepsilon_q^G - \varepsilon_p^G$. Сответствующий коммутатор может быть вычислен в приближении «Хабард 1»:

$$\begin{aligned} [\hat{X}_{\mathbf{f}}^m, \hat{H}_{cc}] &= \sum_{\lambda\lambda'\sigma'} \sum_{nl} \sum_{i\mathbf{R}} T_{\lambda\lambda'}(\mathbf{R}) \times \\ &\times \left\{ \gamma_{\lambda\sigma'}^*(n) \gamma_{\lambda'\sigma'}(l) [\hat{X}_{\mathbf{f}}^m, \hat{X}_{\mathbf{i}}^{+n} \hat{X}_{\mathbf{i}+\mathbf{R}}^l] + \right. \\ &+ \left. \gamma_{\lambda'\sigma'}^*(l) \gamma_{\lambda\sigma'}(n) [\hat{X}_{\mathbf{f}}^m, \hat{X}_{\mathbf{i}+\mathbf{R}}^{+l} \hat{X}_{\mathbf{i}}^n] \right\} \approx \\ &\approx \sum_{\lambda\lambda'n} \gamma_{\lambda\sigma}^*(m) \gamma_{\lambda'\sigma}(n) F_{\mathbf{f}}(m) \times \\ &\times \sum_{\mathbf{R}} T_{\lambda\lambda'}(\mathbf{R}) (\hat{X}_{\mathbf{f}+\mathbf{R}}^n + \hat{X}_{\mathbf{f}-\mathbf{R}}^n), \quad (17) \end{aligned}$$

где $F_{\mathbf{f}}(m) = F_{\mathbf{f}}(\boldsymbol{\alpha}_m) = \langle \hat{X}_{\mathbf{f}}^{pp} \rangle + \langle \hat{X}_{\mathbf{f}}^{qq} \rangle$ — фактор заполнения. Отсюда с учетом наличия A - и B -подрешеток получим систему уравнений

$$\begin{aligned} i\dot{\hat{X}}_{\mathbf{f}}^m &= \Omega_m^A \hat{X}_{\mathbf{f}}^m + \sum_{\lambda\lambda'n} \gamma_{\lambda\sigma}^*(m) \gamma_{\lambda'\sigma}(n) F_A(m) \times \\ &\times \left(\sum_{\mathbf{R}_2} \hat{Y}_{\mathbf{f}+\mathbf{R}_2}^n [T_{\lambda\lambda}^{AB} + T_{\lambda\lambda}^{BA}] + \right. \\ &\left. + 2 \sum_{\mathbf{R}_1} \hat{X}_{\mathbf{f}+\mathbf{R}_1}^n T_{\lambda\lambda'}^{AA} \right), \quad (18) \\ i\dot{\hat{Y}}_{\mathbf{g}}^m &= \Omega_m^B \hat{Y}_{\mathbf{g}}^m + \sum_{\lambda\lambda'n} \gamma_{\lambda\sigma}^*(m) \gamma_{\lambda'\sigma}(n) F_B(m) \times \\ &\times \left(\sum_{\mathbf{R}_2} \hat{Y}_{\mathbf{g}+\mathbf{R}_2}^n [T_{\lambda\lambda}^{AB} + T_{\lambda\lambda}^{BA}] + \right. \\ &\left. + 2 \sum_{\mathbf{R}_1} \hat{Y}_{\mathbf{g}+\mathbf{R}_1}^n T_{\lambda\lambda'}^{BB} \right). \end{aligned}$$

Приближение справедливо только в случае малости соотношения $\sum_{\lambda\lambda'} \gamma_{\lambda\sigma}^*(m) T_{\lambda\lambda'}^{PG}(\mathbf{k}) \gamma_{\lambda'\sigma}(n) \ll \Omega_m^G$. Наряду с соотношением $\eta_{000} > \eta_{mn}$, где $\eta = \mu, \lambda, \xi, \beta, \gamma$ (см. таблицу) это еще один малый параметр нашего решения. Введем новые обозначения для эффективного взаимодействия вида

$$T_{eff,mn}^{PG}(\mathbf{k}, \sigma) = \begin{cases} \sum_{\lambda\lambda'} \gamma_{\lambda\sigma}^*(m) T_{\lambda\lambda'}^{GG}(\mathbf{k}) \gamma_{\lambda'\sigma}(n), & G = P, \\ \frac{1}{2} \sum_{\lambda\lambda'} \gamma_{\lambda\sigma}^*(m) [T_{\lambda\lambda'}^{AB}(\mathbf{k}) + T_{\lambda\lambda'}^{BA}(\mathbf{k})] \gamma_{\lambda'\sigma}(n), & G \neq P. \end{cases}$$

Это позволит нам в дальнейшем использовать более удобный матричный способ записи уравнений движения для функции Грина:

$$\hat{D}_{ij} = \begin{pmatrix} \hat{D}_{ij}(AA) & \hat{D}_{ij}(AB) \\ \hat{D}_{ij}(BA) & \hat{D}_{ij}(BB) \end{pmatrix},$$

где

$$D_{ij}^{mn}(AB) = \langle \langle \hat{X}_i^m | \hat{Y}_j^n \rangle \rangle.$$

А именно, систему уравнений

$$\begin{aligned} D_{ij}^{mn}(AA) &= D_m^0(A) \delta_{ij} \delta_{mn} + \\ &+ 2D_m^0(A) \sum_{\lambda\lambda'l} \gamma_{\lambda\sigma}^*(m) \gamma_{\lambda'\sigma}(l) \times \\ &\times \left(\sum_{\mathbf{R}_2} T_{\lambda\lambda'}^{AB} D_{i+\mathbf{R}_2 j}^{ln}(BA) + \right. \\ &\left. + \sum_{\mathbf{R}_1} T_{\lambda\lambda'}^{AA} D_{i+\mathbf{R}_1 j}^{ln}(AA) \right), \quad (19) \end{aligned}$$

$$\begin{aligned} D_{ij}^{mn}(BA) &= D_m^0(B) \sum_{\lambda\lambda'l} \gamma_{\lambda\sigma}^*(m) \gamma_{\lambda'\sigma}(l) \times \\ &\times \left(\sum_{\mathbf{R}_2} T_{\lambda\lambda'}^{BA} D_{i+\mathbf{R}_2 j}^{ln}(AA) + \right. \\ &\left. + \sum_{\mathbf{R}_1} T_{\lambda\lambda'}^{BB} D_{i+\mathbf{R}_1 j}^{ln}(BA) \right), \end{aligned}$$

где

$$D_m^0(G) = \frac{F_G(m)}{E - \Omega_m^G + i\varepsilon}$$

— функция Грина нулевого приближения, после фурье-преобразования

$$D_{ij}^{mn} = \frac{2}{N} \sum_k D_k^{mn} e^{ik(\mathbf{R}_i - \mathbf{R}_j)}$$

и использования новых обозначений $T_{eff,mn}^{PG}(\mathbf{k}, \sigma)$ можно представить следующим образом:

$$\begin{aligned} & \sum_l \left\{ D_{\mathbf{k}}^{ln}(AA) [\delta_{ml} - 2D_m^0(A)T_{eff,ml}^{AA}(\mathbf{k}, \sigma)] - \right. \\ & \left. - 2D_{\mathbf{k}}^{ln}(BA)D_m^0(A)T_{eff,ml}^{AB}(\mathbf{k}) \right\} = D_m^0(A)\delta_{mn}, \quad (20) \\ & \sum_l \left\{ D_{\mathbf{k}}^{ln}(BA) [\delta_{ml} - 2D_m^0(B)T_{eff,ml}^{BB}(\mathbf{k}, \sigma)] - \right. \\ & \left. - 2D_{\mathbf{k}}^{ln}(AA)D_m^0(B)T_{eff,ml}^{BA}(\mathbf{k}) \right\} = 0. \end{aligned}$$

Другая пара уравнений получается заменой $A \leftrightarrow B$. В матричной записи системы уравнений (20) имеет простой вид $\hat{D}_{\mathbf{k}} = \hat{A}^{-1}(\mathbf{k})\hat{D}^0$, где

$$\hat{A}(\mathbf{k}) = \begin{pmatrix} 1 - \hat{D}^0(A)2\hat{T}_{eff}^{AA}(\mathbf{k}, \sigma) & -\hat{D}^0(A)2\hat{T}_{eff}^{AB}(\mathbf{k}, \sigma) \\ -\hat{D}^0(B)2\hat{T}_{eff}^{BA}(\mathbf{k}, \sigma) & 1 - \hat{D}^0(B)2\hat{T}_{eff}^{BB}(\mathbf{k}, \sigma) \end{pmatrix}, \quad \hat{D}^0 = \begin{pmatrix} \hat{D}^0(A) & 0 \\ 0 & \hat{D}^0(B) \end{pmatrix}. \quad (21)$$

Таким образом, дисперсионные зависимости квазичастиц определяются уравнением для полюсов матричной функции Грина $\hat{D}_{\mathbf{k}}$:

$$\| (E - \Omega_m^G)\delta_{mn} - 2F^G(m)T_{eff,mn}^{PG}(\mathbf{k}, \sigma) \| = 0, \quad (22)$$

специфика которого отражена в матрице перескоков $T_{eff,mn}^{PG}(\mathbf{k}, \sigma)$ и совокупности корневых векторов α_m . При этом локальные квазичастичные возбуждения имеют энергию Ω_m^G и спектральный вес $F^G(m)$, которые вычислены в результате точной диагонализации внутриячеекой части гамильтониана с учетом сильных корреляций. В AFM-фазе (A -типа), где имеет место антиферромагнитное упорядочение между xy -плоскостями вдоль оси z (рис. 1) и ферромагнитное в самой плоскости, каждая из орбитальных подрешеток разбивается еще и на магнитные подрешетки. Это приводит уже не к двум типам операторов в (13), а к четырем и, соответственно, еще к одной паре индексов « G' » и « P' » в (19), а также к удвоению размерности матрицы (22).

5. РЕЗУЛЬТАТЫ ЧИСЛЕННОГО РЕШЕНИЯ ДИСПЕРСИОННОГО УРАВНЕНИЯ

На рис. 3а представлены результаты численного решения дисперсионного уравнения (22) в AFM-фазе. Для упрощения рисунка не показаны пустые состояния зоны проводимости, лежащие выше щели $E_g \geq 2$ эВ, причем щель формируется в основном за счет возбуждений с «переносом заряда». Решение получено при значении параметров

$$\begin{aligned} \varepsilon_{d_x} = \varepsilon_{d_{3y}} &= 0, \quad \varepsilon_p = -2 \text{ эВ}, \quad t_{pd} = 0.7 \text{ эВ}, \\ t_{pp} &= 0.3 \text{ эВ}, \quad U_d = 5 \text{ эВ}, \quad U_p = 2 \text{ эВ}, \\ J_d &= 2 \text{ эВ}, \quad V_{pd} = 1 \text{ эВ}. \end{aligned} \quad (23)$$

При выборе параметров ε_{d_x} и $\varepsilon_{d_{3y}}$ мы опирались на то, что наличие кристаллического поля не приводит к существенному расщеплению e_g -состояний [13]. В ряду электроотрицательности марганец (1.6) занимает положение слева от меди (1.75), поэтому энергия кислородных орбиталей ε_p выбрана меньшей, чем в случае купратов ($\varepsilon_p \sim -1.4 \div -1.6$ эВ в [11]). Поскольку эффективный радиус иона Mn^{3+} меньше радиуса иона Cu^{3+} и длина связи $Mn-O$ (1.91–2.18 Å) больше, чем в случае с $Cu-O$ (~1.89 Å), и параметры t_{pd} и t_{pp} выбраны меньшими, чем в [11]. Параметры кулоновских взаимодействий выбраны из условия соответствия рассчитанной диэлектрической щели ~2 эВ и наблюданной в $LaMnO_3$.

Отметим важную роль орбитального упорядочения в формировании диэлектрического основного состояния $LaMnO_3$. Для сравнения мы рассчитали зонную структуру кубического $LaMnO_3$ и получили основное металлическое состояние. Таким образом, по крайней мере, одна из причин, почему $LaMnO_3$ — диэлектрик, это наличие ян-теллеровских дисторсий и орбитального упорядочения в его пространственной структуре.

Обращает на себя внимание существование на потолке валентной зоны двух различных подзон, разделенных энергетической интервалом ~0.2–0.5 эВ. Первая находится фактически в области диэлектрической щели и в недопированном материале имеет нулевую дисперсию и нулевой спектральный вес. Можно думать, что это следствие AFM-упорядочения, так же, как и в купратах [11]. Однако результаты для РМ-фазы (рис. 3б) не поддерживают эту версию — зона внутрищелевых состояний сохраняется. Происхождение этих состоя-

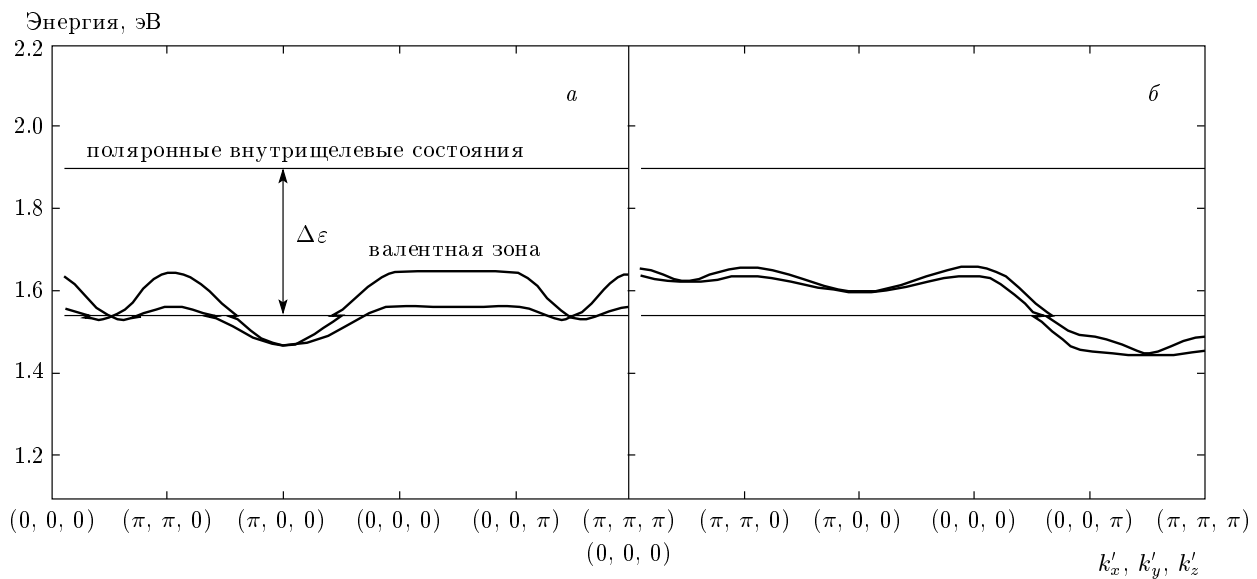


Рис. 3. Дисперсия квазичастичных состояний в орбитально-упорядоченном LaMnO_3 при AFM-упорядочении (*a*) и в РМ-фазе (*b*). Для упрощения рисунка не показаны пустые состояния зоны проводимости, лежащие выше щели ≥ 2 эВ

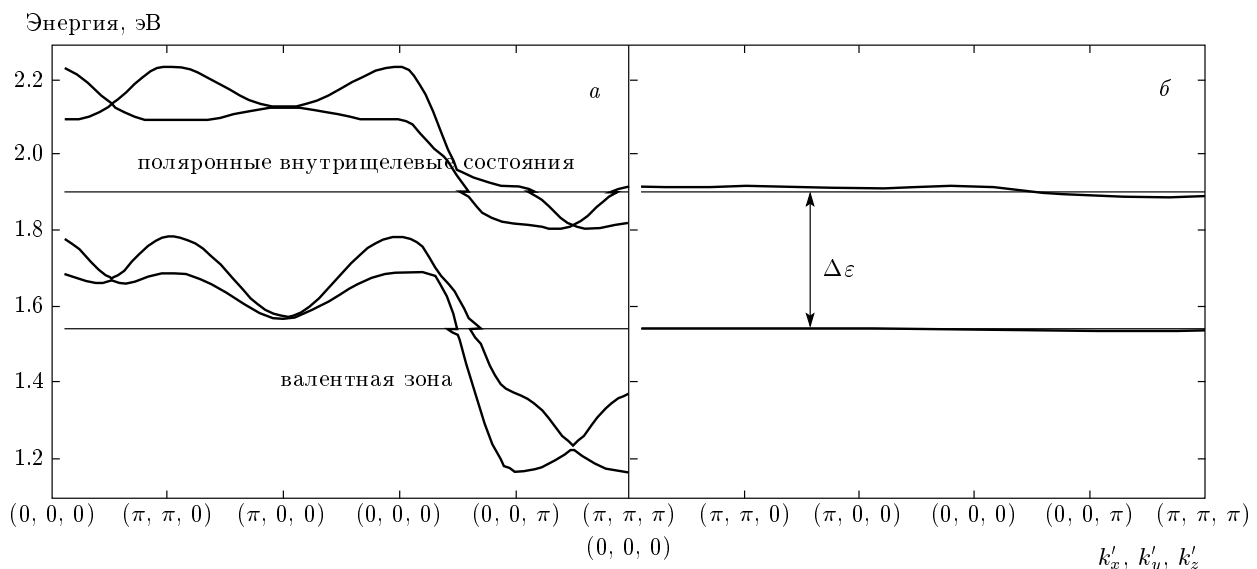


Рис. 4. Дисперсия квазичастичных состояний в орбитально-упорядоченном LaMnO_3 при FM-упорядочении ($x = 0.3$) для проекции спина носителя $\sigma = \uparrow$ (*a*) и $\sigma = \downarrow$ (*b*)

ний совсем иное, чем в купратах, — оно связано с близостью двух орбитальных синглетов 5a и 5b в однодырочном секторе конфигурационного пространства системы, т. е. с наличием искаженной трехмерной кубической структуры в LaMnO_3 . Впервые подобный механизм формирования внутрищелевых состояний был предложен в работе [23]. Подчеркивая разницу в происхождении этих состояний, мы предлагаем называть их поларонными внутрищелевыми

состояниями, так как причина их появления состоит в ян-теллеровской природе расщепления исходного орбитального дублета, тогда как в купратах — спин-поларонными внутрищелевыми состояниями [24].

Вторая подзона имеет отличные от нуля дисперсию и спектральную плотность и полностью заполнена в недопированном случае, т. е. является валентной зоной. В свою очередь, она состоит из

двух близко лежащих зон, относящихся к различным орбитальным подрешеткам. Ширины зон зависят от того, в какой из фаз мы проводим вычисления (рис. 3б). При повышении температуры выше критической T_N , как и следовало ожидать из вида AFM-упорядочения (A -тип), сокращение дисперсии имеет место в xy -плоскости, а в z -направлении, наоборот, происходит увеличение дисперсии. Как и следовало ожидать, спектры квазичастиц симметричны для обеих проекций спина в AFM- и PM-фазах.

Здесь мы воспроизводим также результаты для FM-фазы (рис. 4), которая реализуется при допировании в $\text{La}_{1-x}\text{Sr}_x\text{MnO}_3$. В этом случае происходит частичное заполнение $\sim x$ двухдырочного терма $|2h_{1M_{3/2}}\rangle$, в результате чего квазичастицы, соответствующие полярным внутрищелевым состояниям (показаны на рис. 2 штриховыми линиями), приобретают дисперсию и спектральный вес $\sim x$. Из-за FM-упорядочения вырождение по спину снимается, поэтому с ростом x формируется состояние с диэлектрической щелью для одной спиновой подзоны и металлического типа для другой спиновой подзоны. Такие состояния в англоязычной литературе называются полуметаллическими (см. обзор [25]). Выше точки Кюри зоны в PM-фазе сужаются и в квазичастичном спектре полуметаллической фазы открывается щель. Более подробно рассмотрение механизма колоссального магнитосопротивления выходит за рамки настоящей статьи и будет проведено отдельно.

6. ЗАКЛЮЧЕНИЕ

Обобщенный метод сильной связи был создан для расчета зонной структуры электронов в мотт-хаббардовских диэлектриках, т. е. в режиме сильных электронных корреляций, где традиционные одноэлектронные подходы типа LDA неприменимы. Первый класс сильнокоррелированных систем, для которых были выполнены расчеты в рамках обобщенного метода сильной связи, — это купраты [11]. Оказалось, что зонная структура квазичастиц сильно зависит от допирования, температуры и других внешних факторов, в частности, появляются внутрищелевые состояния с малым спектральным весом, пропорциональным концентрации допирования.

Результаты настоящей работы показывают, что и для систем с высокоспиновыми многоэлектронными термами обобщенный метод сильной связи также применим. Важнейшим свойством мангани-

тов оказалось орбитальное упорядочение, снимающее вырождение 5e_g -дублета. Без снятия вырождения зонная структура LaMnO_3 была бы металлической, несмотря на сильные электронные корреляции и антиферромагнитное упорядочение. Физическая причина этого вывода проста: для вырожденного 5e_g -дублета имеем случай двухзонной модели Хаббарда с каждой зоной, заполненной на $1/4$, поэтому расщепление одноэлектронной зоны на две хаббардовские подзоны сохраняет металлическое состояние.

Работа выполнена в рамках интеграционного междисциплинарного проекта СО РАН — УРО РАН (грант № 74), программы Президиума РАН «Квантовая макрофизика», а также при финансовой поддержке РФФИ (грант № 06-02-16100).

ЛИТЕРАТУРА

1. C. Zener, Phys. Rev. **82**, 403 (1951).
2. P. W. Anderson and Hasegawa, Phys. Rev. **100**, 675 (1955).
3. P. G. de Gennes, Phys. Rev. **118**, 141 (1960).
4. Ю. А. Изюмов, Ю. Н. Скрябин, УФН **171**, 121 (2001).
5. N. G. Bebenin, R. Zainulina, V. V. Mashkaustan, V. V. Ustinov, and Ya. M. Mukovskii, Phys. Rev. B **69**, 104434 (2004).
6. Y.-D. Chuang, A. D. Gromko, D. S. Dessau, T. Kimura, and Y. Tokura, Science **292**, 1509 (2001); T. Saitoh, D. S. Dessau, Y. Maritomo, T. Kimura, Y. Tokura, and N. Hamada, Phys. Rev. B **62**, 1039 (2000).
7. D. S. Dessau and Z.-X. Shen, in book *Colossal Magnetoresistive Oxides*, ed. by Y. Tokura, Monographs in Condensed Matter Science, Gordon and Breach (1998), p. 1.
8. J. Zaanen, G. A. Sawatzky, and J. W. Allen, Phys. Rev. Lett. **55**, 418 (1985).
9. W. E. Pickett and D. Singh, Phys. Rev. B **53**, 1146 (1996).
10. W. E. Pickett, H. Krakauer, R. E. Cohen, and D. Singh, Physica C **162–164**, 1419 (1989).
11. В. А. Гавричков, С. Г. Овчинников, А. А. Борисов, Е. Г. Горячев, ЖЭТФ **118**, 422 (2000).

12. К. И. Кугель, Д. И. Хомский, ЖЭТФ **64**, 1429 (1973); К. И. Кугель, Д. И. Хомский, УФН **136**, 621 (1982).
13. A. J. Millis, Colossal Magnetoresistance Manganites: Hamiltonian, review notes in Summer College and Conference on *Physics and Chemistry of Rare-Earth Manganites*, SMR1505/33, ICTP (1–18 June 2003).
14. J. Hubbard, Proc. Roy. Soc. **A** **276**, 238 (1963).
15. Р. О. Зайцев, *Диаграммные методы в теории сверхпроводимости и ферромагнетизма*, Едиториал УРСС, Москва (2004).
16. В. В. Вальков, С. Г. Овчинников, *Квазичастицы в сильнокоррелированных системах*, Изд-во СО РАН, Новосибирск (2001).
17. I. V. Solovyev and K. Terakura, J. Kor. Phys. Soc. **33**, 375 (1998).
18. W. Koshiba and S. Maekawa, Physica C **317–318**, 205 (1999).
19. Xiao-Jang Fan, Shun-Qing Shen, Z. D. Wang, X.-G. Li, and Qiang-Hua Wang, Phys. Rev. **B** **62**, 3869 (2000).
20. T. Hotta, A. L. Malvezzi, and E. Dagotto, Phys. Rev. **B** **62**, 9432 (2000).
21. С. М. Дунаевский, ФТТ **43**, 2161 (2001).
22. Р. О. Зайцев, ЖЭТФ **68**, 1, 207 (1975).
23. С. Г. Овчинников, ЖЭТФ **102**, 534 (1992).
24. S. G. Ovchinnikov, A. A. Borisov, V. A. Gavrichkov, and M. M. Korshunov, J. Phys.: Condens. Matter **16**, L93 (2004).
25. В. Ю. Ирхин, М. И. Кацнельсон, УФН **164**, 705 (1994).